

Homework No.5

Ruqi Feng

November 2022

1 One-dimensional Kronig-Penney problem

1.1 Description

Find the eigenstates with the lowest 3 energies for a particle in a periodic potential, which is shown in Fig.1. $a = 1\text{nm}$, $U_0 = 2\text{eV}$, $L_W = 0.9\text{nm}$ and $L_B = 0.1\text{nm}$. Use basis $|\psi_q\rangle = e^{i\frac{2\pi q}{a}x}$. Calculate the eigenvalues.

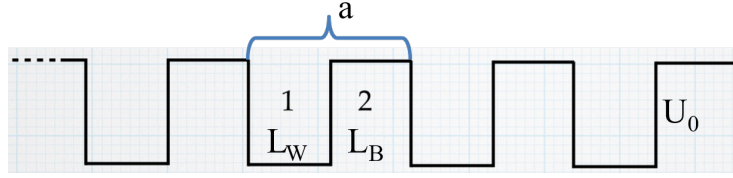


图 1: Kronig-Penney 问题中的周期性势能

1.2 Solution

在基 $e^{i\frac{2\pi q}{a}x}$ 下, \hat{H} 可以利用 FT 方便地计算。动能 $\langle \hat{T} \rangle_{pq}$

$$\langle \psi_p | \hat{T} | \psi_q \rangle = \langle \psi_p | -\frac{\hbar^2}{2m} \frac{\partial^2}{\partial x^2} | \psi_q \rangle \quad (1)$$

$$= \langle \psi_p | \frac{\hbar^2}{2m} \frac{4\pi^2 q^2}{a^2} | \psi_q \rangle = \frac{\hbar^2}{2m} \frac{4\pi^2 q^2}{a^2} \langle \psi_p | \psi_q \rangle \quad (2)$$

$$= \frac{2\hbar^2 \pi^2 q^2}{ma^2} \langle \psi_p | \psi_q \rangle \quad (3)$$

调整 ψ_q 的系数，使内积归一化¹，于是

$$\langle \psi_p | \psi_q \rangle = \delta_{p,q} \quad (4)$$

利用 Eq.4 可得

$$\langle \hat{T} \rangle_{pq} = \frac{2\hbar^2 \pi^2 q^2}{ma^2} \delta_{p,q} \quad (5)$$

只有对角元受到动能的贡献。

而对于 \hat{H} 中的势能 $\langle \hat{V} \rangle_{pq}$ ，用 Fourier 级数展开势能，可得 $V(x) = \sum_{q'} c_{q'} e^{i \frac{2\pi q'}{a} x}$ ，于是

$$\langle \psi_p | \hat{T} | \psi_q \rangle = \langle \psi_p | V | \psi_q \rangle \quad (6)$$

$$= \langle \psi_p | \sum_{q'} c_{q'} e^{i \frac{2\pi q'}{a} x} | \psi_q \rangle \quad (7)$$

注意到 $e^{i \frac{2\pi k}{a} x} | \psi_q \rangle = | \psi_{q+k} \rangle$ ，可以把 Eq.6 中的 V 吸收进 $|\psi\rangle$ 中，然后再利用 Eq.4 可得

$$\langle \hat{V} \rangle_{pq} = c_{q'} \delta_{q+q', p} = c_{p-q} \quad (8)$$

只需算出 $c_{q'}$ ，即势能的 Fourier 系数，再选定基的范围，就能得到 $\langle \hat{H} \rangle$ 矩阵，并解得本征值。我们选择基的 $q \in [-N, N]$ ，因此由 Eq.8 可知， q' 的范围是 $[-2N, 2N]$ 。在势能的一个周期内采样并进行 DFT 便可以得到各个 $c_{q'}$ ：

$$c_{q'} = \sum_{k=0}^{4N} V\left(\frac{k}{4N+1}a\right) e^{i \frac{2\pi q' k}{4N}} \quad (9)$$

因此就知道了

$$\langle \hat{H} \rangle_{ij} = c_{i-j} + \frac{2\hbar^2 \pi^2 q^2}{ma^2} \delta_{i,j} \quad (10)$$

对 Eq.10 求本征值即为能量。

1.3 Input and Outputs

取 $N = 100$ ，计算出的 H 如 fig.2, Fig.3 所示：对 $\langle \hat{H} \rangle$ 求本征值，打印前 5 个最小值，结果如 fig.5 所示。最小的三个能量是

¹这里正交是显然的。内积必须归一化，否则 $\langle \psi | \hat{H} | \psi \rangle \neq \langle \hat{H} \rangle$ ，计算出的本征能量也会相差一个系数。但我还是没懂，这里的内积显然不能定义成 $\int_{-\infty}^{\infty}$ ，但该怎么定义呢？从结果上看 \int_0^a somehow works，但是什么道理呢？

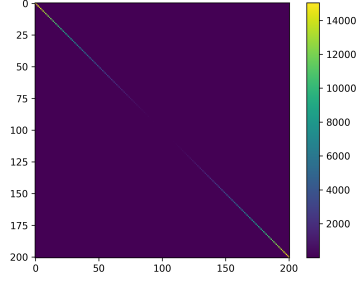


图 2: 动能矩阵各元素模

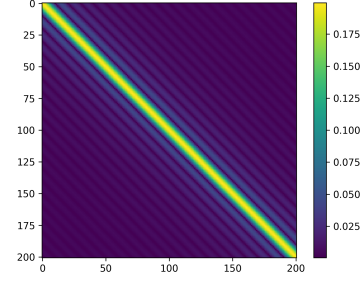


图 3: 势能矩阵各元素模

n	E/eV
1	0.14432
2	1.51638
3	1.88196

事实上,可以发现动能矩阵元在对应大动量时模很大,如果 N 取得过大,除了使效率降低外,还可能导致浮点数溢出。由于 \hat{H} 是个 Hermite 矩阵,本征值是实的,这说明解得的本征能量应该是实数。

如果调整 L_W/L_B ,可以发现会有在某些时候会有简并态出现,如 Fig,4所示。由于时间问题,我还没有能对此进行解释。

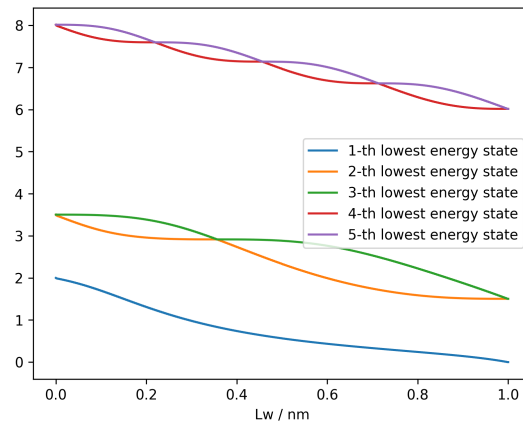


图 4: 不同 L_W/L_B 时的能量 (eV)

程序使用了 numpy, matplotlib 和 scipy 库。在安装了依赖库的环境中运行 q1_FFT.py 即可。下面是程序运行的截图。

```
energies: [0.14432189 1.51638174 1.88191648 6.06294525 6.38406653]
```

图 5: 程序运行截图

1.4 Pseudocode

Algorithm 1 Kronig-Penney Problem

Input: $V(x)$
Output: Eigenvalues E_i

```

1:  $N \leftarrow 100$ 
2:  $c_p \leftarrow \text{FFT of } (V(\text{linspace}(0, 1, 4N + 1)))$ 
3: for  $i$  in range( $2N + 1$ ) do
4:   for  $j$  in range( $2N + 1$ ) do
5:      $V_{ij} \leftarrow c_{i-j}$ 
6:     if  $i == j$  then
7:        $T_{ij} \leftarrow \frac{2\hbar^2 \pi^2 q^2}{ma^2}$ 
8:     else
9:        $T_{ij} \leftarrow 0$ 
10:    end if
11:     $H_{ij} \leftarrow T_{ij} + V_{ij}$ 
12:  end for
13: end for
14:  $E \leftarrow \text{eigenvalues of } H$ 
15: return  $E$ 

```

2 Sunspots

2.1 Description

Detecting periodicity: Download the file called sunspots.txt, which contains the observed number of sunspots on the Sun for each month since

January 1749. Write a program to calculate the Fourier transform of the sunspot data and then make a graph of the magnitude squared $\|c_k\|^2$ of the Fourier coefficients as a function of k —also called the power spectrum of the sunspot signal.

2.2 Solution

利用 FFT 进行计算。我们知道 DFT 可以表示为

$$f_k(k) = \sum_m f\left(\frac{k}{N}L\right)e^{-i\frac{2\pi km}{N}} \quad (11)$$

计算它的时间复杂度为 $O(N)$ 。注意到

$$\sum_{k=1}^{N-1} f_k e^{-i2\pi \frac{jk}{N}} = \sum_{k=0}^{\frac{N}{2}-1} f_{2k} e^{-i2\pi \frac{jk}{N/2}} - e^{-i\frac{2\pi j}{N}} \sum_{k=0}^{\frac{N}{2}-1} f_{2k+1} e^{-i2\pi \frac{jk}{N/2}} \quad (12)$$

所以可以把 f_k 的 $O(N)$ 的计算分解成两个 $N \rightarrow \frac{N}{2}$ 的 f_k 的计算, 但是由于后者被 f_k 和 $f_{k+\frac{N}{2}}$ 共享, 所以平均而言计算用的时间是 $T(N) = T(\frac{N}{2}) + 1$, 递推可得 $T(N) = \log_2 N$ 。所有 f_k 总用时为 $N \log_2 N$ 。

在本题目中, 目标的频率和采样周期相比较小, 分辨率不高, 所以可以采用零延拓的方式增加低频下的分辨率。由 Eq.11 可知, 零延拓不会改变零延拓前的 FFT 的值, 只会在延拓前的频谱采样点之间增加新的点, 等价于在频谱中以更高分辨率进行采样。

为了探测周期, 我们利用简单的寻峰算法寻找满足 $f(x_i) > f(x_{i-1})$ and $f(x_i) > f(x_{i+1})$ 的 $f(x_i)$ 作为找到的频率。

2.3 Input and Outputs

直接对时域信号进行 FFT, 结果如 Fig.6 所示, 找到了一个峰在 $k = 0.0076360 \text{ month}^{-1}$, 对应周期 10.91 年, 这是得到的太阳黑子的活动周期。进行零延拓再 FFT 后, 计算得到的周期为 10.99 年, 和实际值更加接近。可以发现, 零延拓有助于提高频率谱的分辨率。

在零延拓的功率谱中, 可以发现零频附近也出现了一些峰, 但是如图中灰色区域标出的, 一些较小的空间频率事实上是没有意义的—我们不能相信一段长度为 T 的信号能检测出周期为 $2T$ 的分量! 但是还是灰色区域以外的那些峰有可能有一定意义, 但比起找到的峰, 它们的贡献不大。这是因为

周期为 11 年附近的峰虽然峰值和零频附近的峰值相近，但更宽，包含更多”能量”，说明它们对太阳黑子周期性变化的贡献较大。

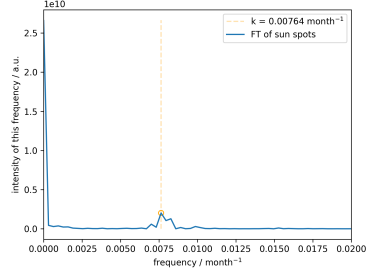


图 6: 没有经过零延拓的功率谱

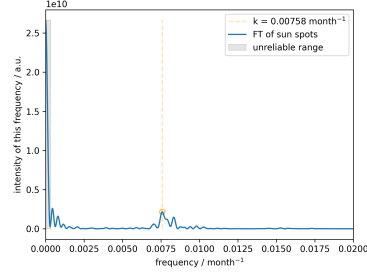


图 7: 经过零延拓的功率谱

程序使用了 `numpy` 和 `matplotlib` 库。在安装了依赖库的环境下运行 `sunspots.py` 即可。

2.4 Pseudocode

Algorithm 2 Sunspots

Input: a discrete time-series intensity signal $I(t)$, lower bound of peak intensity m , lower bound of peak frequency l

Output: peak frequency

- 1: $N \leftarrow \text{len}(I)$
- 2: $y \leftarrow \text{FFT of } I$
- 3: $y \leftarrow y^2$ (element-wise-square)
- 4: **while** $y[i] < m$ or $i < l$ **do**
- 5: $i \leftarrow \text{index of next peak in } y$
- 6: **end while**
- 7: $f \leftarrow \frac{i}{N}$ (month^{-1})

Return: f
